

محاسبه و ارزیابی دمای سطح زمین

با استفاده از الگوریتم پنجره مجزای غیرخطی و تصاویر ماهواره ستینل ۳

مطالعه موردی: استان تهران

رضاشاه حسینی^۱

ارسطو زارعی^۱

روناک قنبری^۲

تاریخ دریافت مقاله: ۱۳۹۹/۰۸/۱۸

تاریخ پذیرش مقاله: ۱۳۹۹/۱۱/۱۰

چکیده

در سال‌های اخیر دمای سطح زمین (LST) اهمیت زیادی در مطالعات علوم زمین و محیط‌زیست پیدا کرده است. فناوری سنجش از دور، امکان پایش مکانی و زمانی این کمیت را در سطوح وسیع فراهم می‌آورد. این پارامتر از طریق تصاویر ماهواره‌ای با حداقل یک باند حرارتی فراهم می‌شود. در این مطالعه از روش پنجره مجزای غیرخطی توسط ماهواره ستینل ۳ در طول فصول مختلف سال ۱۳۹۷ برای محاسبه دمای سطح زمین استفاده شد و همچنین یک روش اعتبارسنجی مستقیم و غیرمستقیم برای آن ارائه شده است. روش اعتبارسنجی بربنای ارزیابی قطعی این محصول با داده میدانی، و ارزیابی نسبی آن با محصولات دمای مادیس و SLSTR می‌باشد. همچنین از روش برآورد گسیلمندی بربنای شاخص پوشش گیاهی برای تخمین دما از روش پنجره مجزای غیرخطی با توجه به دو باند حرارتی تصاویر ستینل ۳ استفاده شد. برای اطمینان بیشتر، محصولات دمای مادیس و SLSTR نیز به صورت مستقیم با داده میدانی ارزیابی قطعی شد. به‌طور کلی نتایج حاصل از محصول دمای مادیس، SLSTR و دمای برآورده شده از روش پنجره مجزای غیرخطی روندی مشابه را برای تغییرات دما در طول فصول سال نشان دادند. به‌طور خلاصه، با توجه به دو روش اعتبارسنجی مستقیم و غیرمستقیم برای دمای برآورده شده از روش پنجره مجزای غیرخطی، فصل تابستان با مقادیر بزرگ میانگین مربع خطاهای (۲/۴۶)، و فصل زمستان با مقادیر کوچک میانگین مربع خطاهای (۰/۸۶) به ترتیب کمترین و بیشترین نتایج را برای فصول در سال ۱۳۹۷ ارائه دادند. در نهایت، با توجه به نتایج به دست آمده دمای برآورده شده هم به صورت قطعی و هم به صورت نسبی نتایج مطلوبی را برای تمام فصول در مقیاس زمانی و مکانی گسترشده فراهم می‌کند که می‌تواند در مقیاس‌های بزرگ برای برآورده دما در حل بحران‌های زیست‌محیطی و همچنین تغییر اقلیم از آن استفاده نمود.

واژه‌های کلیدی: ستینل ۳، محصول دمای مادیس، محصول دمای SLSTR، دمای سطح زمین، الگوریتم پنجره مجزا غیرخطی

۱- کارشناس ارشد دانشکده مهندسی نقشه‌برداری و اطلاعات مکانی، پردیس دانشکده‌های فنی دانشگاه تهران arastou.zarei@ut.ac.ir

۲- استادیار دانشکده مهندسی نقشه‌برداری و اطلاعات مکانی، پردیس دانشکده‌های فنی دانشگاه تهران (نویسنده مسئول) rshahhosseini@ut.ac.ir

۳- دانشجوی کارشناسی ارشد، گروه عمران، دانشکده فنی مهندسی، دانشگاه بولعلی سینا مهدان r.ghanbari@eng.basu.ac.ir

۱- مقدمه

می‌دهد. همچنین دارای دو باند اضافی برای تشخیص آتش‌سوزی است، که توان تفکیک مکانی باندهای مرئی و مادون قرمز نزدیک ۵۰۰ متر و توان تفکیک مکانی باندهای حرارتی و تشخیص آتش‌سوزی ۱ کیلومتر است. مشخصات این ماهواره به طور کلی در جدول (۱) ذکر شده است (JA 2016) *Sobrino, Jiménez-Muñoz, et al., 2016*. تمایز عمدۀ این ماهواره با سایر ماهواره‌های ستینل، مجهزبودن آن به دو باند حرارتی با دقت بالا برای مقیاس‌های منطقه‌ای و جهانی است. همین ویژگی سبب شده که الگوریتم‌های پنجره مجزا^۱ برای ماهواره ستینل^۲ کارآمد باشد و بر همین مبنای هدف اصلی این تحقیق برآورد دمای سطح زمین با استفاده از الگوریتم پنجره مجزا غیرخطی برای ستینل^۳ و ارزیابی نتایج آن با محصول دمای سطح زمین ماهواره MODIS و محصول دمای سطح زمین SLSTR است. روش‌های مختلفی برای به دست آوردن دما وجود دارد: روش‌های تک باندی^۴، پنجره مجزا و جداسازی دما و ضریب گسیل (TES)^۵ که از بقیه این روش‌ها برآورده است. در واقع این روش با استفاده از تلفیق باندهای حرارتی مجاور سعی در کاهش تأثیرات اتمسفری دارد. از مزایای این روش می‌توان به عدم نیاز به پروفیل اتمسفری دقیق و همچنین کارآمدی روش برای تمامی سنسورها با حداقل دو باند حرارتی اشاره کرد. وابستگی این روش به اطلاع از ضریب گسیل و وابستگی ضرایب هر مدل به نوع منطقه را می‌توان از محدودیت‌های این روش دانست (Anding & Kauth, 1970; McMillin, 1975).

مطالعات گوناگونی برای به دست آوردن دمای سطح زمین از باندهای حرارتی ماهواره ستینل^۳ و نحوه به کارگیری آن‌ها در بازه سال ۲۰۰۸ الی ۲۰۱۶ انجام شده است. در تحقیق (North et al., 2008) از پتانسیل ترکیب همزمان ابزارهای ENVISAT و AATSR که بر روی پردازنده ماهواره MERIS می‌باشد برای مدل‌سازی اثرات ابر و بازیابی ذرات معلق در

دمای سطح زمین (LST)^۶ یکی از پارامترهای کلیدی فیزیک فرآیندهای سطح زمین در مقیاس منطقه‌ای و جهانی است که ترکیبی از نتایج همه تعاملات سطح زمین و جریان‌های انرژی بین سطح و اتمسفر است (JA Sobrino, Jiménez-Muñoz, et al., 2016). دما به سرعت نسبت به زمان و مکان در حال تغییر است، بنابراین توصیف کافی از توزیع LST و تکامل زمانی آن نیازمند اندازه‌گیری‌هایی با فرکانس‌های مکانی و زمانی است. در این راستا آگاهی از تغییرات مکانی دمای هوا در مقیاس‌های وسیع برای انجام مطالعات و بررسی‌های اقلیمی، هواشناسی، هیدرولوژیکی لازم به نظر می‌رسد. سری ماهواره‌های ستینل توسط سازمان فضایی اروپا (ESA)^۷ برای پشتیبانی از خدمات عملیاتی اروپا و نیازهای برنامه Copernicus توسعه یافته است. اولین مأموریت‌های ستینل برای کمک به درک سیستم زمین توسط تشخیص، نظارت و ارزیابی تغییرات در اقیانوس، یخ‌کره^۸ و دیگر مؤلفه‌های زمین برنامه‌ریزی شده است (Berger, Moreno, Johannessen, Levelt, & Hanssen, 2012; Malenovský et al., 2012). به طور خاص، مأموریت‌های ماهواره ستینل^۲ و ۳ برای فراهم کردن داده‌های چندطیفی با توان تفکیک مکانی بالا، متوسط و کم در نظر گرفته شدند (Drusch et al., 2012). ماهواره ستینل^۳ در راستای قابلیت‌های ماهواره ENVISAT با باندهای طیفی مشابه با آن طراحی شده است در حالی که تعدادی از محصولات مربوط به اقیانوس و زمین را نیز ارائه می‌دهد (Donlon et al., 2012). ابزارهای اصلی در ماهواره ستینل^۳، تصاویری برای رنگ اقیانوس‌ها و زمین (OLCI)^۹ و رادیومتری برای تعیین دمای سطح زمین و سطح دریا (SLSTR)^{۱۰} است. ابزار SLSTR شامل ۹ باند طیفی می‌باشد که محدوده ۰/۵ الی ۱۲ میکرومتر را پوشش

1- Land Surface Temperature

2- European Space Agency

3- Cryospher

4- Ocean and Land Color Imager

5- Sea and Land Surface Temperature Radiometer

فصلنامه علمی - پژوهشی اطلاعات جغرافیایی (جغرافیا)

محاسبه و ارزیابی دمای سطح زمین با استفاده از الگوریتم پنجراهمنجذای غیرخطی ... / ۶۱

دادند. در مطالعه دیگری (Tang, 2018) برای تخمین دمای سطح زمین و دریا از داده‌های مادون قرمز حرارتی ماهواره چینی 5 Gaofen از الگوریتم پیشنهادی DTCC-SW^۳ برای انواع مختلف سطوح با گسیلمندی مختلف استفاده کردند. نتایج نشان داد RMSE بین دماهای واقعی و پیش‌بینی شده کمتر از ۰/۷ درجه کلوین بوده است، که نشان می‌دهد روش پیشنهادی DTCC-SW می‌تواند دمای سطح زمین و دریا را از داده‌های حرارتی Gaofen-5 به طور دقیق تخمین بزنند. همچنین، براساس مطالعات اخیر در مرور ارزیابی دما، (Huang et al., 2019) از داده‌های مایکروویو غیرفعال سنجنده AMSR2 برای برآورد دما براساس یک روش فیزیکی استفاده کرده‌اند و دمای محاسبه شده را در ۱۶ مکان مختلف با استفاده از محصولات دمای ماهواره مادیس برای ارزیابی نتایج مقایسه کرده‌اند. نتایج این تحقیق میزان خطا را در محدوده ۱/۴ الی ۷/۸ درجه کلوین برای سایتهایی با پوشش‌های مختلف نشان داده است. همچنین در تحقیقی دیگر (Zheng, Y. et al., 2019) به توسعه الگوریتم پنجره مجزای سه کاناله با استفاده از داده‌های ماهواره ستینل^۳ پرداختند. الگوریتم موردنظر بر روی دو سایت مطالعاتی اعمال گردید و نتایج حاصل از اعتبارسنجی این روش بر روی هفت سایت مطالعاتی مورد بررسی قرار گرفت که نتایج دقت‌های مطلوبی برای دمای برآورد شده در شب و روز را نشان می‌دهد. در مطالعه‌ای دیگر (Nie, Ren, Zheng, & Tansey, 2020) از یک الگوریتم جداسازی دمای سه کanal با بهره‌گیری از یک باند مادون قرمز میانی و دو باند مادون قرمز حرارتی ماهواره ستینل^۳ برای تخمین دما و گسیلمندی در شب استفاده کردند. تجزیه و تحلیل حساسیت نشان داد که الگوریتم از نظر تئوری می‌تواند دما و گسیلمندی را با خطاهای کمتر از ۰/۸ و ۰/۱۵ به ترتیب بازیابی کند. همچنین در مقایسه با داده میدانی نشان داده شد که خطای بازیابی دمای شبانه در این روش در حدود ۱/۸۴ درجه کلوین است. در مقاله حاضر، برای اعتبارسنجی

هوا استفاده کردند. یکی از اهداف اصلی آن‌ها توصیه‌هایی برای بهره‌برداری از ابزارهای OLCI و SLSTR ماهواره ستینل^۳ بود که دارای طراحی باندهای طیفی بسیار مشابه با ماهواره ENVISAT می‌باشد. نتایج، دقت بهبود یافته‌ای را برای مدل‌سازی و بازیابی ذرات متعلق در هوا برای ماهواره ENVISAT و تعمیم این نتایج به ماهواره ستینل^۳ نشان داد. در (J Sobrino et al., 2012) از ترکیب همزمان ابزار MSI از ماهواره ستینل^۲ و ابزارهای OLCI و SLSTR از ماهواره AATSR ستینل^۳ به منظور بهبود برآورد LST که از ابزار ENVISAT مشتق شده بودند استفاده کردند. نتایج نشان داد که برآورد گسیلمندی مؤثر و تصحیح اتمسفری مناسب، امکان بازیابی دقیق LST را با استفاده از باندهای حرارتی SLSTR با در نظر گرفتن الگوریتم پنجره مجزای دو زاویه‌ای^۱ در ترکیب همزمان از داده‌ها را فراهم می‌کند. در مطالعه‌ای دیگر از (Kamran, Pirnazar, & Bansouleh, 2015) دو روش مختلف پنجره مجزا و الگوریتم SEBAL را برای برآورد دما از باندهای حرارتی به کار برندند. نتایج این مقایسه برای شهر تهران نشان داد که دمای به دست آمده از روش پنجره مجزا دارای دقت با RMSE کمتر از ۱/۱۷ درجه سانتی‌گراد بوده است، در حالی که روش SEBAL دارای دقت ۳/۲۷ درجه بود. در نهایت آن‌ها نشان دادند که الگوریتم غیرخطی پنجره مجزا روش مناسبی برای بازیابی دما می‌باشد. همچنین (Ruescas, Danne, Fomferra, & Brockmann, 2016) با به کارگیری ابزارهای AATSR و MERIS در ماهواره ENVISAT که خصوصیات مشابه با ابزارهای OLCI و SLSTR از ماهواره ستینل^۳ را دارند برای بازیابی دمای سطح زمین تلاش کردند. نتایج نشان داد که بازیابی LST در طول سال ۲۰۱۱ در سه سایت آزمایشی دارای دقت قابل قبولی است و نتایج رضایت‌بخش بود. تحقیق (Shrestha, Angal, & Xiong, 2018) به مقایسه دمای روش‌نایابی باند ۸ و ۹ ماهواره ستینل^۳ و باند ۳۲ و ۳۳ ماهواره مادیس پرداختند که نتایج قابل اعتمادی را نشان

بر پوشش گیاهی (NDVI-THM)^۴ برآورده است، (۳) پارامترهای ارائه شده توسط آفای سویرینو در سال ۲۰۱۶ برای الگوریتم پنجره مجزای غیرخطی مناسب با باندهای ماهواره ستینل ۳ جهت برآورده دما استفاده شد، (۴) دمای برآورده شده از الگوریتم پنجره مجزای غیرخطی، محصول دمای ماهواره SLSTR ماهواره ستینل ۳ برای ارزیابی نسبی و در مقایسه با داده میدانی ایستگاههای هواشناسی بهمنظور ارزیابی قطعی مورد استفاده قرار گرفتند.

۲- منطقه مورد مطالعه و داده‌های تحقیق

۲-۱- منطقه مورد مطالعه

منطقه مورد مطالعه (نگاره ۱)، کل محدوده استان تهران است، که با یک تصویر ماهواره ستینل ۳ پوشش داده می‌شود، این منطقه در بین عرض جغرافیایی ۳۶°۰'۴۲"- ۳۶°۰'۴۲" شمالی و طول جغرافیایی ۵۳°۱۲'۵۶"- ۵۰°۱۹'۰۶" شرقی قرار دارد و دارای مساحت ۱۲۹۸۱ کیلومترمربع می‌باشد. نگاره ۱ ایستگاه هواشناسی در بازه زمانی ۱۲ فروردین ۱۳۹۷ الی ۱۷ بهمن ۱۳۹۷ در تاریخ‌های مشخص جمع‌آوری شده است. ایستگاههای موجود بر روی نگاره ۱ قابل مشاهده است.

۲-۲- داده‌های ماهواره‌ای

در این تحقیق از دو سری داده برای برآورده دما و ارزیابی آن استفاده شده است: ۱) داده میدانی در ایستگاههای هواشناسی بهمنظور ارزیابی قطعی دمای برآورده شده از الگوریتم پنجره مجزای غیرخطی. ۲) داده‌های ماهواره ستینل ۳ و ماهواره مادیس.

۲-۲-۱- داده میدانی

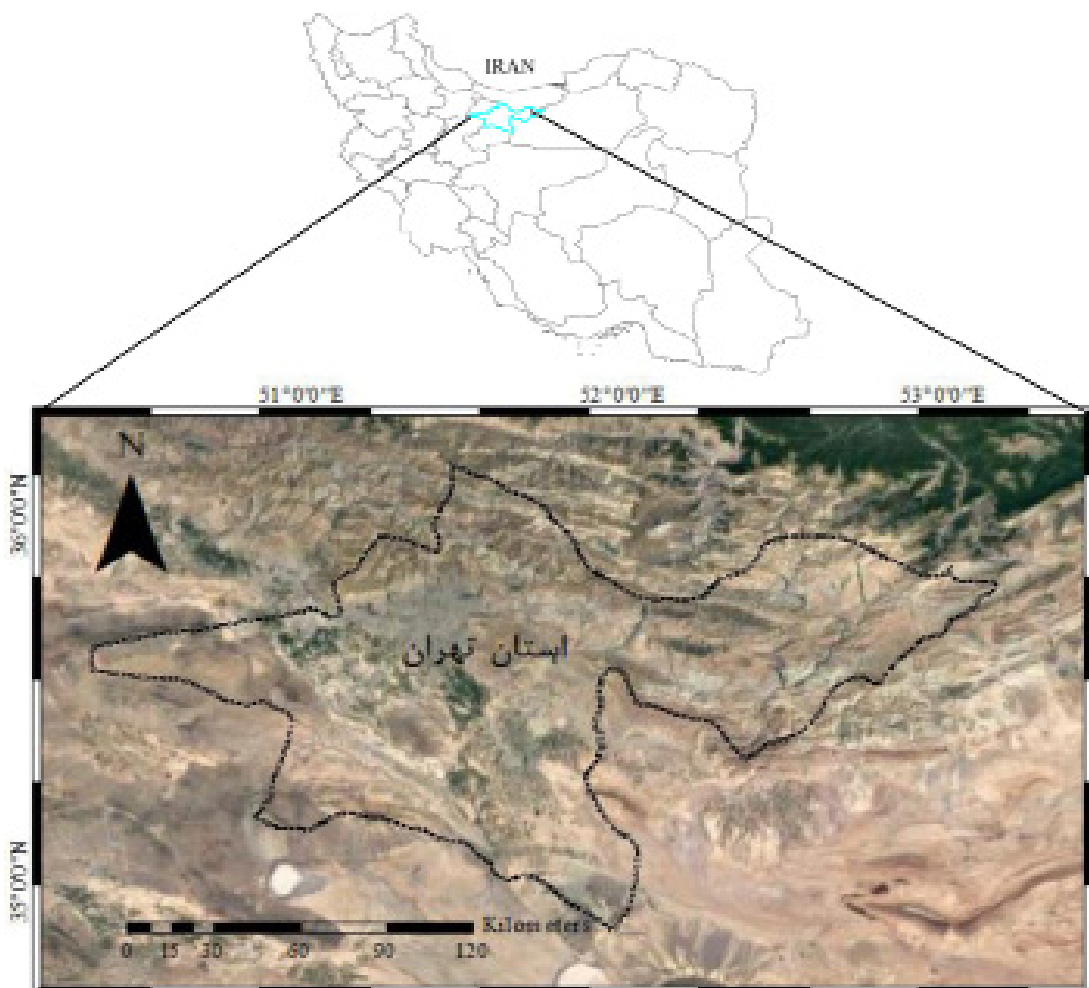
دمای سطح زمین در منطقه مورد مطالعه به صورت

غیرمستقیم محصول دمای ستینل ۳ از دمای برآورده شده از الگوریتم غیرخطی پنجره مجزا (NSW)^۱ و تولیدات دمای سنجنده‌های مادیس^۲ در استان تهران استفاده شده است. بهدلیل پوشش وسیع و برداشت دو بار در هر شب‌نیروز توسط هر یک از سنجنده‌های مادیس، محصول دمای آن به عنوان مرجع در شرایط جوی عاری از ابر انتخاب گردید. داده‌ها و محصولات سنجنده‌های مادیس به صورت مجانی و همیشه در دسترس می‌باشند و از طریق وبسایت سیستم توزیع و آرشیو مادیس^۳ قابل دسترسی است. محصول دمای مادیس در بیش از ۵۰ مورد با داده‌های محلی در رنج دمای ۱۰ درجه سانتی‌گراد و بخارآب ۰/۴ تا ۴ سانتی‌متر در مقیاس یک کیلومتر اعتبارسنجی شده و دارای دقت بهتر از یک درجه کلوین برای هر دو سنجنده مادیس است (Coll et al., 2005; Qian, Li, & Nerry, 2013; Zhengming Wan & Li, 2008; Zhang Wan, Zhang, Zhang, & Li, 2004). بیشتر مطالعات سنجش از دور برای بازیابی LST الگوریتمی را پیشنهاد یا توسعه داده‌اند و هیچ مطالعه‌ای برای ارزیابی محصول SLSTR ماهواره Sentinel-3 وجود ندارد. بنابراین، هدف اصلی این مطالعه ارزیابی دمای ماهواره Sentinel-3 در فضول مختلف براساس الگوریتم NSW می‌باشد. علت استفاده از الگوریتم غیرخطی، بروز خطاها در الگوریتم خطی موجود در محصول دمای SLSTR است که بهدلیل این خطاها رخ می‌دهند: (۱) خطی بودن معادله انتقال تشعشع، (۲) برخی تقریب استفاده شده در توسعه الگوریتم پنجره مجزای خطی است. به عنوان مثال، (Li et al., 2013) نشان داد که الگوریتم پنجره مجزای خطی منجر به خطاها قابل توجهی در برآورده LST در آب و هوای گرم و مرطوب می‌شود. ارزیابی و اعتبارسنجی محصول دمای محاسبه شده ماهواره ستینل ۳ از پنج مرحله اصلی تشکیل شده است: (۱) تصحیح اتمسفری و هندسی بر روی تصاویر ماهواره ستینل ۳ انجام شده است، (۲) میزان گسیلمندی در سطح زمین با استفاده از روش مبتنی

1- Nonlinear Split-Window

2- MOD11-L2 (C6)

3- Atmospheric Archive and Distribution System



نگاره ۱: منطقه مورد مطالعه

ستینل ۳ در فصول مختلف سال ۱۳۹۷ می‌باشد. داده‌ها از سنجنده SLSTR ماهواره ستینل ۳ از آژانس فضایی اروپا (ESA) دریافت شد که مشخصات این داده‌ها در جداول ۱ و ۲ نشان داده شده است. بدیهی است قبل از محاسبه و استخراج پارامترهای فیزیکی سطح زمین نظیر دما، گسلیمندی، رادیانس انعکاسی - حرارتی سطح، آب‌دو سطح استفاده شد. داده میدانی برای برآورد میزان خطا الگوریتم پنجره مجازی غیرخطی استفاده می‌شود. تاریخ داده میدانی مورد استفاده همزمان با گذر ماهواره‌ها در جدول ۲ قابل برای رسیدن به این هدف بایستی اثر اتمسفر، هندسه دید سنجنده، روشنایی خورشید و اثر توپوگرافی و ویژگی‌های سطح روی تصاویر در نظر گرفته شود و تأثیر این عوامل در تخمین پارامترهای سطح حذف شده یا به حداقل بررسد.

ساعتی در ایستگاه‌های هواشناسی استان تهران اندازه‌گیری می‌شود که در وبسایت <https://data.irimo.ir> / این داده‌ها قابل دسترس می‌باشند. ایستگاه‌های هواشناسی دمای سطح زمین را در ارتفاع ۵ الی ۱۰ سانتی‌متر از سطح و در سطح زمین نیز ارائه می‌دهند که در این تحقیق از دمای سطح زمین استفاده شد. داده میدانی برای برآورد میزان خطا الگوریتم پنجره مجازی غیرخطی استفاده می‌شود. تاریخ داده میدانی مورد استفاده همزمان با گذر ماهواره‌ها در جدول ۲ قابل مشاهده است.

۲-۲-۲- داده‌های ماهواره‌ای

داده‌های این تحقیق شامل سری زمانی از تصاویر

جدول ۱: باندهای رادیومتریکی ماهواره سنتینل ۳ (<https://sentinel.esa.int>)
 (**) مورد استفاده برای برآورد شاخص NDVI، ** مورد استفاده در برآورد دما در روش پیشنهادی)

باند	طول موج (نانومتر)	پهنهای باند (نانومتر)	کاربرد	توان تفکیک مکانی (متر)
S1	554.27	19.26	شناسایی ابر، نظارت بر پوشش گیاهی، ذرات معلق در هوا	500
*S2	659.47	19.25	نظارت بر پوشش گیاهی و ذرات معلق در هوا	
*S3	868.00	20.60	کاهش اثرات ابر و مرجع‌سازی پیکسل NDVI	
S4	1374.80	20.80	کشف سیروس بر روی زمین	
S5	1613.40	60.68	نظارت بر پوشش گیاهی، بیخ و برف	
S6	2255.70	50.15	وضعیت پوشش گیاهی و از بین برد اثرات ابر	1000
S7	3742.00	398.00	آتش‌سوزی، دمای سطح زمین، دمای سطح دریا	
**S8	10854.00	776.00	آتش‌سوزی، دمای سطح زمین، دمای سطح دریا	
**S9	12022.50	905.00	دمای سطح زمین، دمای سطح دریا	
F1	3742.00	398.00	آتش‌سوزی	
F2	10854.00	776.00	آتش‌سوزی	

جدول ۲: تاریخ اخذ داده‌های میدانی و ماهواره‌ای استفاده شده در تحقیق

فصل	تاریخ داده میدانی و ماهواره‌ای	ساعت اخذ داده میدانی	ساعت اخذ داده سنتینل ۳	داده ماهواره‌ای مورد استفاده	تعداد نمونه‌های زمینی
پیاپی	۱۳۹۷/۰۱/۱۲	۰۶:۴۲:۴۱		۰۶:۱۵:۰۰	۵۰
	۱۳۹۷/۰۱/۳۱	۰۶:۵۰:۱۸		۰۶:۴۵:۰۰	
	۱۳۹۷/۰۲/۰۴	۰۶:۴۶:۳۴		۰۶:۲۵:۰۰	
	۱۳۹۷/۰۲/۱۲	۰۶:۳۹:۰۵		۰۶:۳۰:۰۰	
	۱۳۹۷/۰۲/۱۶	۰۶:۳۵:۲۱		۰۶:۰۵:۰۰	
بیانی	۱۳۹۷/۰۴/۱۹	۰۶:۴۹:۴۹		۰۶:۴۵:۰۰	۵۰
	۱۳۹۷/۰۴/۲۲	۰۶:۴۶:۰۴		۰۶:۲۵:۰۰	
	۱۳۹۷/۰۵/۰۴	۰۶:۳۴:۵۰		۰۶:۴۵:۰۰	
	۱۳۹۷/۰۵/۰۸	۰۶:۳۱:۵۰		۰۶:۲۰:۰۰	
	۱۳۹۷/۰۵/۱۱	۰۶:۵۳:۳۱		۰۶:۰۵:۰۰	
گلستان	۱۳۹۷/۰۷/۱۱	۰۶:۴۶:۰۲		۰۷:۰۵:۰۰	۵۰
	۱۳۹۷/۰۷/۱۶	۰۶:۱۶:۰۷		۰۷:۲۰:۰۰	
	۱۳۹۷/۰۷/۱۹	۰۶:۳۸:۳۴		۰۶:۱۵:۰۰	
	۱۳۹۷/۰۷/۲۷	۰۶:۳۰:۱۰		۰۷:۰۵:۰۰	
	۱۳۹۷/۰۸/۰۱	۰۶:۲۵:۰۸		۰۶:۴۰:۰۰	
سینه	۱۳۹۷/۱۰/۱۴	۰۶:۳۵:۱۸		۰۶:۳۵:۰۰	۴۵
	۱۳۹۷/۱۰/۲۱	۰۶:۱۴:۳۰		۰۶:۴۰:۰۰	
	۱۳۹۷/۱۰/۲۶	۰۶:۵۹:۲۴		۰۶:۵۵:۰۰	
	۱۳۹۷/۱۱/۰۶	۰۶:۲۵:۴۴		۰۶:۰۰:۰۰	
	۱۳۹۷/۱۱/۱۷	۰۷:۲۰:۱۳		۰۷:۲۰:۰۰	
Sentinel-3 (MODIS MOD11-L2) (Sentinel-3 SLSTR product)					

فصلنامه علمی - پژوهشی اطلاعات جغرافیایی (۱۴۰۰)

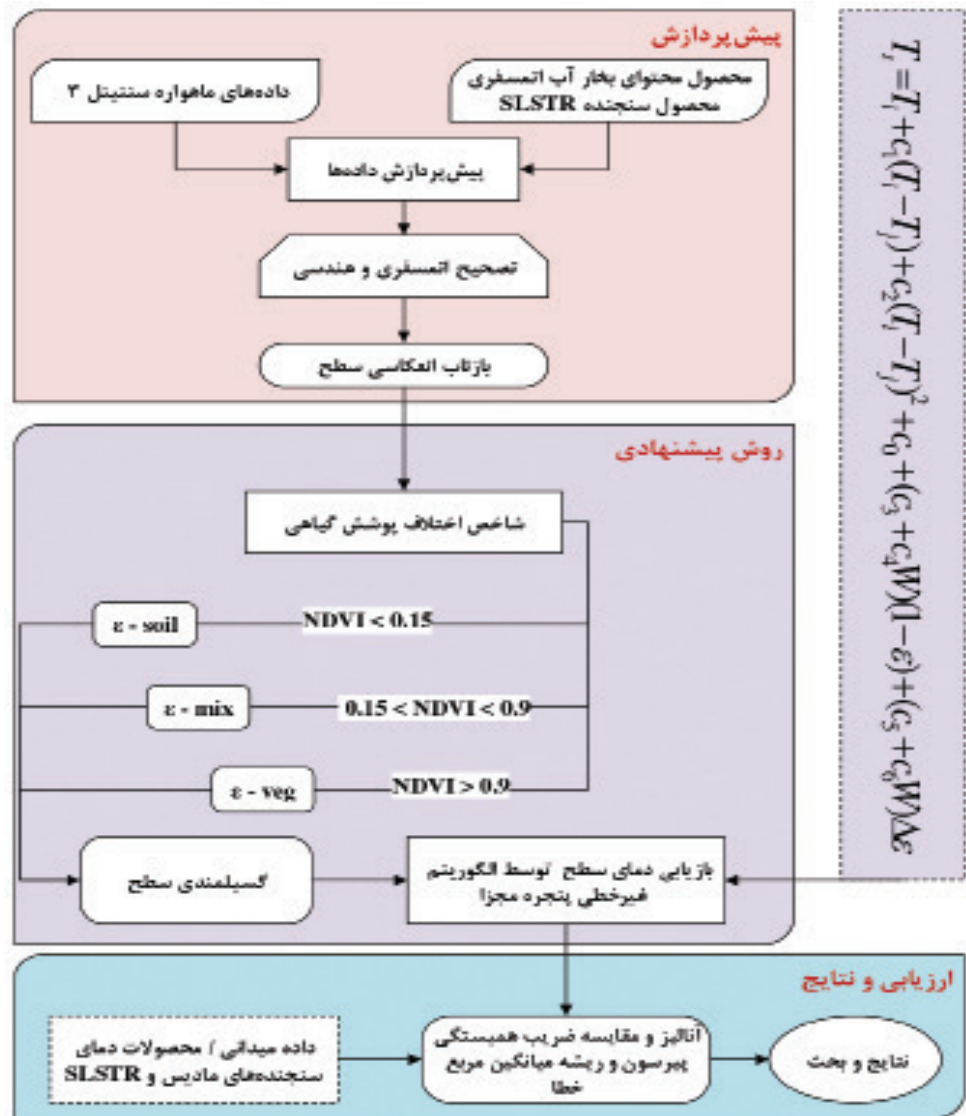
محاسبه و ارزیابی دمای سطح زمین با استفاده از الگوریتم پنجره‌مجازی غیرخطی ... / ۶۵

استفاده شد و در ادامه انواع تصحیحات رادیومتریکی و تصحیح هندسی انجام شد. سپس به منظور اجرای عملیات برآورد دمای سطح زمین از الگوریتم پنجره‌مجازی غیرخطی استفاده گردید که به صورت گام به گام، در مراحل زیر انجام گرفت. در مرحله دوم دمای حاصل با محصولات دمای مادیس و SLSTR اعتبارسنجی شدند و میزان دقت الگوریتم غیرخطی پنجره‌مجازی برای داده‌های ستینیل ۳ تعیین گردید.

در ادامه این دو مرحله در زیر بخش‌های مجزا توضیح داده شده است، در مرحله اول، برای انجام این پژوهش از می‌شود. در نگاره ۲، الگوریتم روش پیشنهادی نشان داده تصاویر سری زمانی سنجنده SLSTR ماهواره ستینیل ۳ شده است.

در این تحقیق، چون هدف برآورد دمای سطح زمین در استان تهران بود تصحیحات لازم بر روی تصاویر انجام گرفت. با تصحیح اتمسفری و هندسی تصاویر منطقه مورد مطالعه، انعکاس در سطح زمین به دست آمد و تمامی محاسبات لازم براساس آن صورت گرفت.

۳- روش پیشنهادی



نگاره ۲: فلوچارت روش پیشنهادی

جدول ۳: ضرایب الگوریتم پنجره مجزا غیرخطی در معادله (۱) برای سنجنده SLSTR ماهواره ستینل ۳. خطای استاندارد برآورد، r ضریب همبستگی پیرسون و u_{total} عدم اطمینان کلی برای الگوریتم پنجره مجزا غیرخطی می‌باشد

سنجنده SLSTR	واحد	پارامتر
-0.268 ± 0.014	K	C_0
1.084 ± 0.010	unitless	C_1
0.2771 ± 0.0017	K-1	C_2
45.1 ± 0.7	K	C_3
-0.73 ± 0.19	K.cm-1	C_4
-0.125 ± 0.17	K	C_5
16.7 ± 0.5	K.cm-1	C_6
۰/۹	K	σ
۰/۹۷۶	unitless	r
۱/۶	K	u_{totd}

و شب نیز کاربرد ندارد (*Goita & Royer, 1997; Zhengming Wan & Li, 1997*) در میان ساختارهای مختلف ریاضی برای این الگوریتم‌های پیشنهاد شده، رابطه الگوریتم پنجره مجزا غیرخطی که Sobrino *et al.*, (1996) به طور خلاصه انتخاب شد:

$$T_s = T_i + c_1(T_i - T_j) + c_2(T_i - T_j)^2 + c_0 + (c_3 + c_4 W)(1 - \varepsilon) + (c_5 + c_6 W)\Delta\varepsilon \quad (1)$$

(رابطه ۱)

در این معادله T_s ، دمای سطح زمین بر حسب درجه کلوین (K)، $T_{i,j}$ دمای روشنایی (BT)^۲ در سطح سنجنده بر حسب درجه کلوین، W محتوای بخار آب اتمسفر تک کanal (SC)^۱ که عمدتاً روشی برای سری ماهواره‌های لندست است، بازیابی کرد (*Jimnez-Muoz et al. 2014; Jimnez-Muoz et al. 2008*)

گسیلمندی سطح زمین حاصل از دو باند حرارتی که معادل است با $(\varepsilon_j - \varepsilon_i)$ می‌باشد. ضرایب $c_0 - c_6$ شبیه‌سازی شده برای نمونه‌های مختلف در جدول ۳ بیان شده است.

$c_0 - c_6$ ضرایبی هستند که از رگرسیون‌های آماری بر روی داده‌های شبیه‌سازی شده حاصل شده‌اند. سوبرینو و

تعیین گسیلمندی سطح و بازیابی دما سطح زمین روش پنجره مجزا براساس دیفرانسیل جذب است که در آن اثر اتمسفر بر سیگنال اندازه‌گیری شده با استفاده از اختلاف سیگنال‌های اندازه‌گیری شده در دو باند حرارتی با طول موج‌های مختلف تصحیح می‌شود (*McMillin, 1975*). الگوریتم SW برای بازیابی دمای سطح زمین به گسیلمندی سطح زمین بستگی دارد.

صرف‌نظر از الگوریتم‌های دو زاویه‌ای و SW همچنین ممکن است دما را تنها از یک باند حرارتی تحت یک مشاهده واحد به اصطلاح Mono-Window یا الگوریتم تک کanal (SC)^۱ که عمدتاً روشی برای سری ماهواره‌های لندست است، بازیابی کرد (*Jimnez-Muoz et al. 2014; Jimnez-Muoz et al. 2008*)

از آنجا که سنجنده SLSTR ماهواره ستینل ۳ فقط دارای دو باند حرارتی می‌باشد الگوریتم سه کanal به منظور محاسبه دما برای سنجنده ۳ حذف می‌شود. علاوه بر این به منظور اجازه بازیابی دما در زمان آنی و جلوگیری از وابستگی داده به اخذ آن در شب، روش‌های مبتنی بر داده‌های روز

فصلنامه علمی - پژوهشی اطلاعات جغرافیایی (۲۰۱۷)

محاسبه و ارزیابی دمای سطح زمین با استفاده از الگوریتم پنجره‌محزای غیرخطی ... ۶۷ /

جدول ۴: ضرایب برای رابطه خطی $\varepsilon = a + b\rho_{red}$ ، که ارتباط بین گسیلمندی سطح و بازتاب انعکاسی سطح در باند قرمز

را نشان می‌دهد

p-red	slstr_b2	slstr_b2
ε -TIR	slstr_b11	slstr_b12
b	0.051 ± 0.009	0.032 ± 0.007
a	0.979 ± 0.002	0.9829 ± 0.0016
r	0.73	0.60
σ	0.003	0.003

همکاران برای شبیه‌سازی از ۱۰۸ طیف گسیلمندی موجود در کتابخانه طیفی (Baldridge, Hook, Grove, & Rivera, 2009) ASTER زبری سطح است که به عوامل هندسی بستگی دارد (برای اهداف عملی ثابت در نظر گرفته شود) و P_V شاخص پوشش گیاهی کسری^۳ است که با استفاده از NDVI برآورد می‌شود (Gutman & Ignatov, 1998):

$$P_V = \frac{NDVI - NDVI_S}{NDVI_V - NDVI_S} \quad \text{رابطه (۳)}$$

NDVI ارزش یا مقدار فعلی برای هر پیکسل است، $NDVI_S$ مقدار NDVI برای زمین بایر و $NDVI_V$ مقدار NDVI برای پوشش گیاهی کامل است. این مقادیر را می‌توان با استفاده از روش‌های مختلفی به دست آورد اگرچه مقادیر مرجعی برای آن‌ها مطرح شده است که $NDVI_S$ برابر 0.15 و $NDVI_V$ برابر با 0.9 می‌باشد.

میانگین مقادیر گسیلمندی برای ۲۷ نمونه خاک در باند ۱۱ میکرومتر معادل است با 0.969 ± 0.005 و برای باند ۱۲ میکرومتر برابر با 0.977 ± 0.003 می‌باشد. این مقادیر را می‌توان به عنوان مرجع برای ε در معادله (۲) استفاده کرد در حالی که مقدار ثابت 0.99 برای ε در نظر گرفته شود.

ضرایب a و b در قسمت اول معادله (۲) از طریق کتابخانه طیفی ASTER^۳ برای ۲۷ نمونه خاک در جدول ۴ به دست آمده است (J. A. Sobrino et al., 2008). داده‌های ورودی برای الگوریتم پنجره مجزا در معادله (۱) شامل دمای روشنایی باندهای ۱۱ و ۱۲ میکرومتر موجود در باندهای سنجنده

همکاران برای شبیه‌سازی از ۱۰۸ طیف گسیلمندی موجود در کتابخانه طیفی (Baldridge, Hook, Grove, & Rivera, 2009) ASTER و ۶۱ پروفیل جوی تحت پنج درجه دمای مختلف استفاده کردند. طیف‌های گسیلمندی شامل نمونه‌های طبیعی خاک، پوشش گیاهی، آب، یخ و نمونه سنگ‌هایی با اندازه‌ای در مقیاس سنجش از دور بودند (Sobrino, Jimnez-Muoz, et al. 2016).

مزیت اصلی معادله (۱) این است که این عبارت از لحاظ فیزیکی از معادله انتقال تشعشعی بعد از چندین فرضیه به صورت مستقیم حاصل می‌شود و به صراحت شامل محتوای بخار آب اتمسفر و گسیلمندی سطح می‌باشد. از لحاظ بازیابی عملیاتی، الگوریتم داده شده توسط معادله (۱) به راحتی می‌تواند منابع خارجی محتوای بخار آب اتمسفر و گسیلمندی سطح را در خود جای دهد. از این‌رو، هرگاه محصولات بهبود یافته W در دسترس باشد، پتانسیل LST تولیدشده با این الگوریتم می‌تواند به راحتی پردازش شود. برای تعیین گسیلمندی سطح، روش مبتنی بر حد آستانه‌گیری متوسط (NDVI-THM)^۱ طبق معادله (۲) استفاده شد (J. A. Sobrino et al., 2008):

$$\begin{aligned} NDVI < NDVI_S : \quad \varepsilon &= a + b\rho_{red} \\ NDVI_S \leq NDVI \leq NDVI_V : \quad \varepsilon &= \varepsilon_s(1 - P_V) + \varepsilon_V P_V + C \\ NDVI_V > NDVI : \quad \varepsilon &= 0.99 \end{aligned} \quad \text{رابطه (۲)}$$

در این معادله ρ_{red} بازتاب انعکاسی سطح در باند قرمز، ε_V و ε_S به ترتیب مقادیر مرجع گسیلمندی سطح برای

2- Fractional vegetation cover (P_V)

3- Advanced Spaceborne Thermal Emission and Reflection Radiometer

1- NDVI Thresholds Method

ریشه میانگین مربع خطأ^۲ (Kuenzer & Dech, 2013) مطابق معادلات (۴) و (۵) به عنوان معیارهای نسبی و کمی ارزیابی در نظر گرفته شدند. ضریب همبستگی نشان‌دهنده این است که چه مقدار از تغییرات متغیر وابسته تحت تأثیر متغیر مستقل مربوطه بوده و مابقی تغییرات متغیر وابسته مربوط به سایر عوامل می‌باشد و همچنین ریشه میانگین مربع خطأ بیانگر اختلاف مقدار متغیر وابسته نسبت به متغیر مستقل است.

$$r = \frac{\sum_{i=1}^N (X - \bar{X})(Y - \bar{Y})}{\sqrt{\sum_{i=1}^N (X - \bar{X})^2} \sqrt{\sum_{i=1}^N (Y - \bar{Y})^2}} \quad (4)$$

$$RMSE = \sqrt{\frac{1}{N-1} \sum_{i=1}^N [(X - Y)]^2} \quad (5)$$

در این معادله، X و Y هر دو در واحد درجه سانتی‌گراد بوده که X دمای سطح حاصل از ماهواره سنتینل ۳، Y دمای سطح حاصل از سنجنده مادیس و SLSTR در زمان عبور سنتینل ۳ در هر نقطه اعتبارسنجی متناظر، N تعداد نقاط یا پیکسل‌های اعتبارسنجی انتخاب شده می‌باشد. نتایج حاصل از این ارزیابی برای پنج تصویر از هر فصل و ایستگاه‌های هواشناسی موجود در نگاره^۴ نشان داده شده است. نتایج دمای سطح زمین با الگوریتم پنجره مجزای غیرخطی در اردیبهشت، مرداد، آبان و دی ماه ۱۳۹۷ با استفاده از داده‌های ماهواره سنتینل ۳ در هفت کلاس مختلف دمایی به عنوان نمونه‌ای از هر فصل طبقه‌بندی شدند. نتایج حاصل در تحقیقات (Amanollahi, et al. 2012; M Bokaie, et al. 2019) نشان می‌دهند که دمای سطح زمین در استان تهران و در ماههای مختلف متغیر است. حداکثر LST در محدوده‌های مرکزی، جنوب، جنوب غربی و تا حدودی در شرق و جنوب شرقی شهر تهران رخ داده است. حداقل دمای سطح نیز برای مناطق شمالی و شمال غربی تهران به دست آمد. به طور کلی مناطق مرکزی، جنوب غرب و جنوب تهران بالاترین مقادیر LST را در فصل‌های مورد مطالعه داشتند، در حالی که مناطق شمالی کمترین مقادیر LST را به خود اختصاص

SLSTR، گسیلمندی سطح که از طریق معادله (۲) محاسبه شد و محتوای بخار آب اتمسفری که یکی از محصولات سنجنده SLSTR می‌باشد.

۴- نتایج و بحث

هدف اصلی این مقاله محاسبه و ارزیابی دمای سطح زمین با استفاده از الگوریتم پنجره مجزای غیرخطی توسط ماهواره Sentinel-3 در استان تهران بود. در این بخش از اعتبارسنجی مطلق و مقایسه‌ای برای ارزیابی این محصول استفاده شد. دقت مطلق الگوریتم NSW و پارامترهای مورد استفاده در این مطالعه با روش ارائه شده توسط داده‌های میدانی مورد بحث قرار گرفته است. سپس، دقت مطلق محصولات دمای MODIS و SLSTR با استفاده از داده‌های زمینی اندازه‌گیری شده تعیین می‌شود.

در بخش بعدی دمای محاسبه شده از روش NSW، محصولات دمای MODIS و SLSTR دو به دو با همدیگر ارزیابی نسبی شده‌اند. سرانجام، منبع خطاهای و تفاوت‌ها در محصولات و روش‌های NSW در بخش آخر بحث شده است.

۴-۱- ارزیابی مستقیم دمای محاسبه شده از روش NSW با داده میدانی

در تحقیق حاضر برای این که نتایج قبل اطمینان برای هر فصل ارائه شود با توجه به توان تفکیک زمینی ماهواره‌های سنتینل ۳ و مادیس در هر فصل پنج تصویر از هر سنجنده پردازش و محاسبات بر روی آن‌ها انجام شد. دمای محاسبه شده برای چهار تصویر از چهار فصل مختلف در طول سال ۹۷ به صورت بصری در نگاره^۳ ارائه شده است. برای ارزیابی دقت روش پیشنهادی در تعیین اختلاف بین دمای حاصل روش NSW و محصولات دمای سنجنده مادیس و سنجنده SLSTR و همچنین داده میدانی، ضریب همبستگی پیرسون^{۱(r)} (Ahlgren, Jarneving, & Rousseau, 2003) و

2- Root-mean-square error

1- PearsonCorrelation Coefficient

فصلنامه علمی - پژوهشی اطلاعات جغرافیایی (۲۰۱۴)

محاسبه و ارزیابی دمای سطح زمین با استفاده از الگوریتم پنجره‌جزای غیرخطی ... ۶۹ /

دلایل تفاوت در دقت فضول مختلف در بخش آخر نتایج
بحث خواهد شد.

۴-۲- ارزیابی مستقیم محصولات دمای SLSTR و MODIS با داده میدانی

ارزیابی قطعی محصولات دمای SLSTR و MODIS با استفاده از داده میدانی اندازه‌گیری شده در سطح زمین برای اطمینان از دقت محصولات دما انجام شد و نتایج آن در نگاره ۵ قابل مشاهده است. با توجه به دقت‌های ارائه شده در نگاره ۵ هر دو محصول دمای SLSTR و MODIS در فضول مختلف نتایج مشابهی را ارائه داده‌اند. به عنوان مثال، هر دو محصول در فصل زمستان دقت بهتری را برای دمای سطح زمین نسبت به فصل تابستان نشان می‌دهند و فصل بهار دقت بهتری نسبت به فصل پاییز را ارائه می‌دهد. به طور کلی، محصول دمای SLSTR دقت بالاتری نسبت به محصول دمای MODIS در تمام فضول ارائه می‌دهد.

مطابق نگاره (۵ و ۶)، نتایج ارزیابی مطلق نشان می‌دهد که LST برآورده شده با روش NSW نتایج قابل اطمینان تر و دقت بهتری نسبت به محصولات MODIS و SLSTR ارائه می‌دهد. با توجه به استفاده از روش پنجره جزای خطی در محصولات دمای MODIS و SLSTR، دقت پایین این دو محصول در مقایسه با روش NSW قابل توجیه است. دو دلیل اصلی خطا در روش پنجره جزای خطی عبارتند از: (۱) خطی شدن معادله انتقال تابش و (۲) تقریب‌های استفاده شده برای مقدار بخار آب جوی.

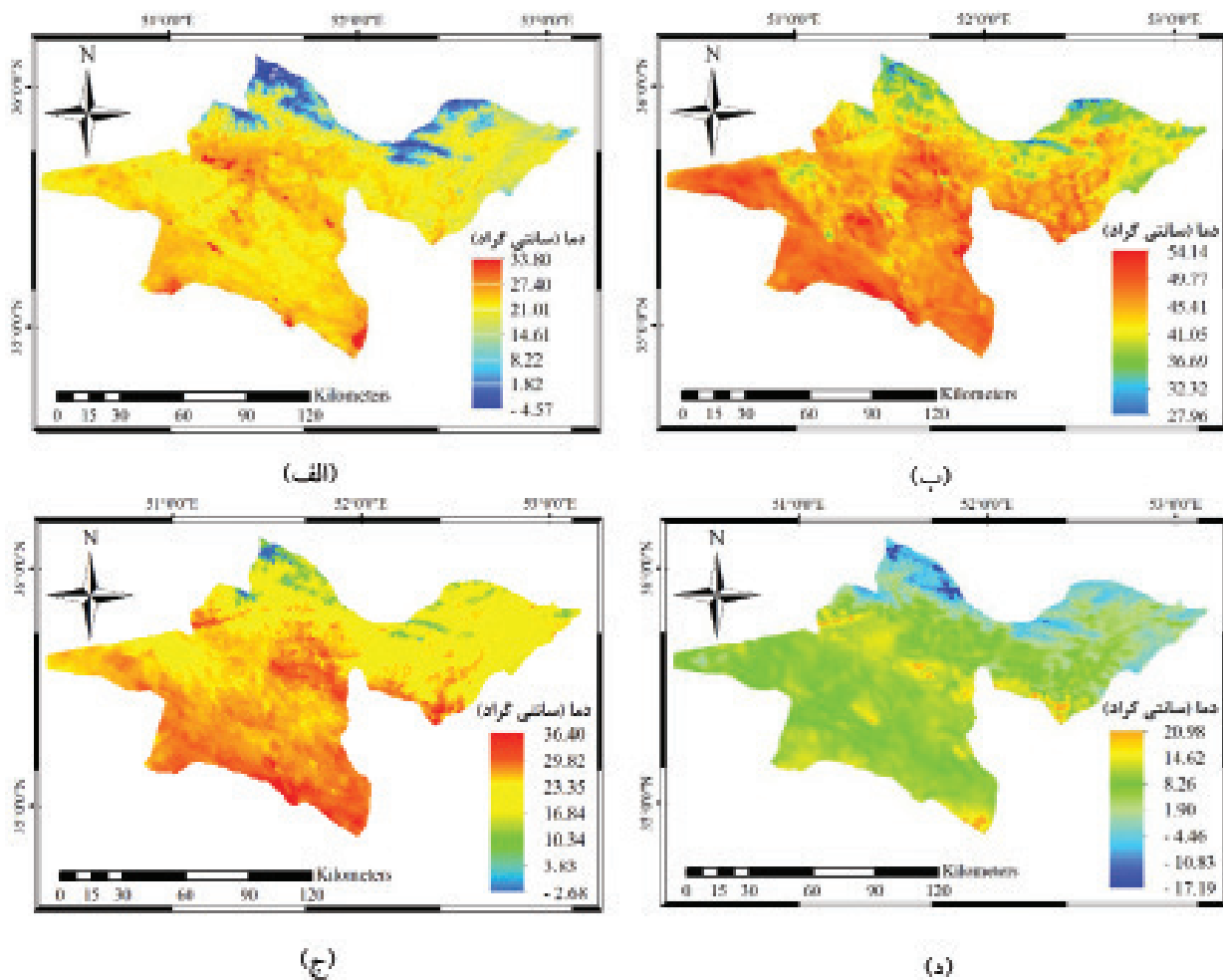
۴-۳- ارزیابی غیرمستقیم محصولات دمای SLSTR و MODIS با دمای محاسبه شده از NSW

در مقاله حاضر، اعتبارسنجی غیرمستقیم دمای سطح زمین حاصل از روش پنجره جزای غیرخطی با تولیدات دمای سنجنده‌های MODIS و SLSTR در استان تهران ارائه شده است. به دلیل پوشش وسیع و برداشت دوبار در هر شبانه‌روز توسط هر یک از سنجنده‌های مادیس،

دادند. این روند برای تمامی فضول‌ها به همین ترتیب بود. در حقیقت یکی از دلایل دمای بالاتر در مناطق مورد نظر می‌تواند پوشش گیاهی کمتر در این مناطق باشد. به این معنا که کاهش تراکم پوشش گیاهی منجر به افزایش دما می‌شود. پوشش گیاهی و بدنه‌های آبی مربوط به مناطق شمالی، شمال‌غربی و شمالی شرقی تهران است.

به طور کلی مناطقی که دارای پوشش گیاهی و آبی هستند، می‌توانند مقدار دمایی کمتری را نشان دهند. این مسئله با توجه به نتایج حاصل از بسیاری از مطالعات صورت گرفته در این زمینه مطابقت دارد. مناطق مرکزی، جنوبی و جنوب‌غربی دارای مقدار پوشش گیاهی کمتری نسبت به مناطق شمالی می‌باشند و بیشتر سطوح پوشیده از زمین‌های بایر و مناطق ساخته شده می‌باشد که با توجه به این موضوع دمای سطح در این مناطق بالا می‌باشد. به طور کلی افزایش دما در فصل تابستان به دلیل تغییرات ذاتی در این فضول بوده و همچنین یکی دیگر از دلایل، تأثیرات نوع کاربری اراضی در این مناطق است، که مقادیر LST بالاتر نسبت به سایر فضول‌ها به این دلایل توجیه پذیر می‌باشد. مقادیر LST در پاییز به علت کاهش تراکم پوشش گیاهی در نیمه شمالی نسبت به فصل بهار افزایش می‌یابد و در بخش‌های دیگر دمای سطح به علت شرایط اتمسفری موجود در این فصل بالا است. در فصل زمستان به علت پایین آمدن دمای هوا به طور کلی دمای سطح زمین نیز نسبت به سایر فضول‌ها کاهش یافته است.

باتوجه به نتایج به دست آمده در نگاره ۴ دمای محاسبه شده از روش پنجره جزای غیرخطی نتایج مطلوبی را برای چهار فصل سال ارائه داده است. در مقایسه فضول با همدیگر، دمای محاسبه شده در فصل زمستان با ضریب تعیین ۰/۹۸ و میانگین مربع خطای ۰/۸۶ درجه سانتی‌گراد دارای بیشترین دقت است. باتوجه به نمودار رگرسیون خطی بین دمای محاسبه شده و داده میدانی در همه فضول بایاس کمی مشاهده می‌شود که این نشان از مناسب بودن ضرایب الگوریتم NSW بر روی منطقه مورد مطالعه است.



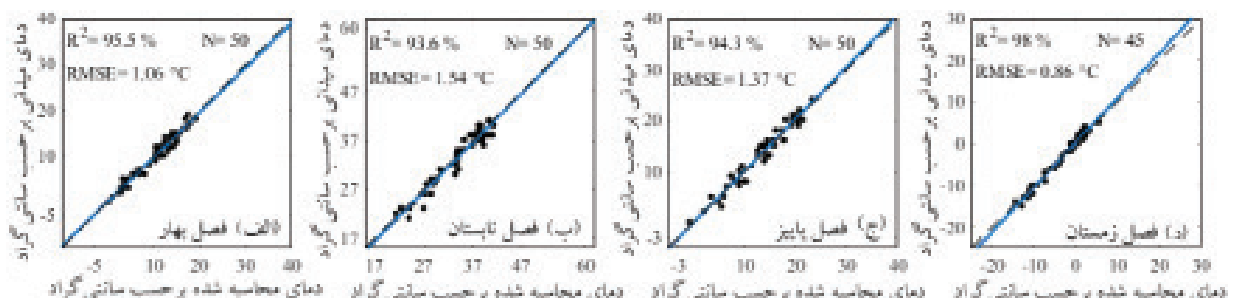
نگاره ۳: دمای سطح زمین حاصل از الگوریتم پنجره مجزای غیرخطی: (الف) مقدار دما در خرداد ۱۳۹۷، (ب) مقدار دما در مرداد ۱۳۹۷، (ج) مقدار دما در آبان ۱۳۹۷ و (د) مقدار دما در دی ۱۳۹۷

در سطح یک پیکسل مادیس است (با توجه به اختلاف قدرت تفکیک مکانی بین دو سنجنده) لذا دمای حاصل از سنتینل ۳ به مراتب دقیق‌تر از دمای مادیس در مقیاس محلی خواهد بود. همچنین محصول دمای SLSTR از الگوریتم خطی پنجره مجزا استفاده کرده و هدف این است که دقت نسبی دمای محاسبه شده از روش NSW با محصول سنجنده SLSTR برآورد شود. لذا برای ارزیابی نسبی دمای حاصل از روش پیشنهادی چهار فریم از محصول دمای MODIS و سنجنده SLSTR در ماه اردیبهشت، مرداد، آبان و دی ۱۳۹۷ از منطقه مورد مطالعه استفاده گردید که در نگاره ۶ نشان داده شده است.

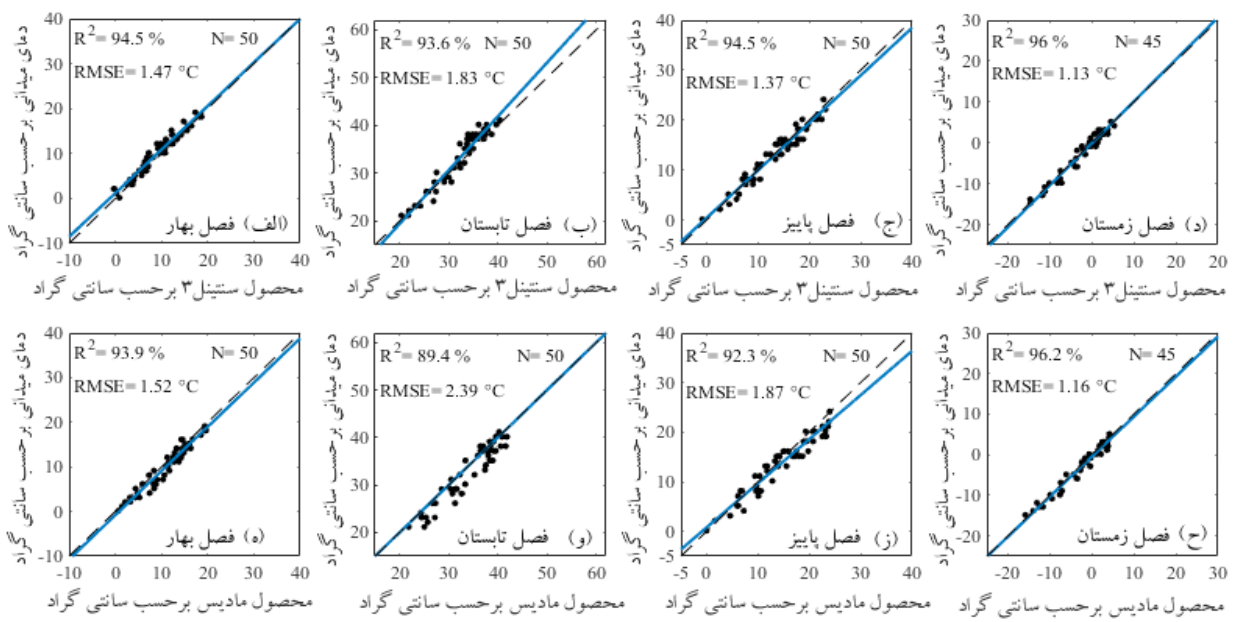
محصول دمای آن به عنوان مرجع در شرایط جوی عاری از ابر انتخاب شد. داده‌ها و محصولات سنجنده‌های مادیس به صورت در دسترس می‌باشند. محصول دمای مادیس در بیش از ۵۰ مورد با داده‌های محلی در محدوده دمای ۱۰ تا ۵۰ درجه سانتی گراد و بخارآب $\frac{4}{0}$ تا $\frac{1}{4}$ سانتی متر در مقیاس یک کیلومتر اعتبارسنجی شده و دارای دقت بهتر از یک درجه کلوین برای هر دو سنجنده مادیس است. با این‌که دمای حاصل از مادیس دارای دقت بهتر از یک درجه کلوین برای هر دو سنجنده ترا و آکوا است ولی این دما، متوسط دما برای منطقه یک کیلومتر در یک کیلومتر است، بنابراین هر دمای مادیس معادل ۲ مقدار دمای سنتینل ۳

فصلنامه علمی - پژوهشی اطلاعات جغرافیایی (میر)

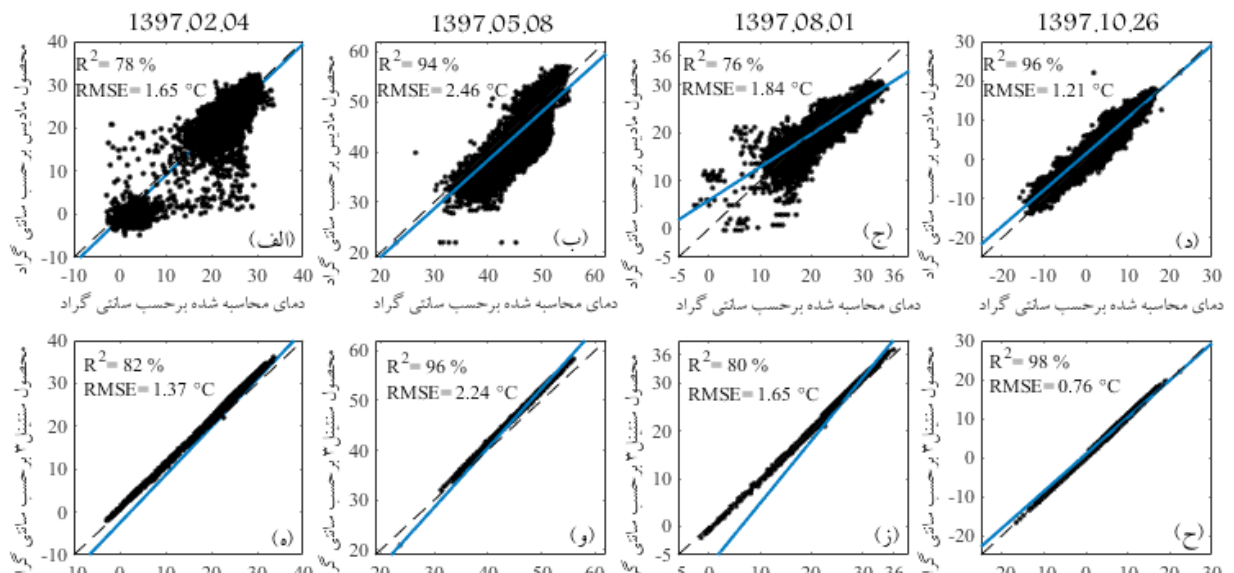
محاسبه و ارزیابی دمای سطح زمین با استفاده از الگوریتم پنجره‌مجازی غیرخطی ... / ۷۱



نگاره ۴: ارزیابی دقیق قطعی دمای محاسبه شده از روش پنجره‌مجازی خطی با استفاده از داده میدانی در فصول مختلف سال



نگاره ۵: ارزیابی دقیق قطعی محصولات دمای SLSTR و MODIS با استفاده از داده میدانی در فصول مختلف سال



نگاره ۶: ارزیابی دقیق نسبی محصولات SLSTR و MODIS با دمای محاسبه شده در چهار تاریخ مشخص از فصول مختلف سال

با توجه به نتایج ارائه شده در نگاره ۶ و مقایسه دمای حاصل از الگوریتم غیرخطی پنجره مجزا با محصولات SLSTR و مادیس، این الگوریتم دارای ثبات نسبی برای کل فصول است.

۵- نتیجه‌گیری

هدف از این تحقیق، برآورد دمای سطح زمین با استفاده از الگوریتم غیرخطی پنجره مجزا توسط داده‌های سنتینل ۳ در فصول مختلف سال می‌باشد. در ارزیابی قطعی، دمای محاسبه شده نسبت به داده‌های میدانی به دست آمده در سطح زمین از ایستگاه هواشناسی اعتبارسنجی شدند. همچنین در ارزیابی نسبی، دمای محاسبه شده نسبت به محصول دمای مادیس و SLSTR ارزیابی شده است. برای اطمینان بیشتر از نتایج اعتبارسنجی غیرمستقیم، محصول دمای مادیس و SLSTR نسبت به داده میدانی ارزیابی قطعی شده‌اند و نتایج مطلوبی را ارائه دادند.

به صورت کلی تنوع قابل توجهی در اختلافات دما در طول فصول مختلف سال، به خصوص در فصل تابستان برای دمای برآورد شده از الگوریتم NSW مشاهده می‌شود، اما دمای SLSTR، محصول دمای مادیس و دمای محاسبه شده روند مشابهی از تغییرات را برای فصول بر روی منطقه مورد مطالعه ارائه داده‌اند. همچنین طبق دقت‌های به دست آمده حاصل از هر دو محصول روش الگوریتم غیرخطی پنجره مجزا دقت‌های بهتری را در فصل‌های بهار و زمستان نسبت به فصول پاییز و تابستان ارائه می‌دهد. با توجه به نتایج به دست آمده در چهار فصل مختلف سال روش پیشنهادی دارای ثبات نسبی خوبی می‌باشد و می‌توان گفت که برآورد دمای سطح زمین با استفاده از روش پنجره مجزای غیرخطی توسط داده ماهواره سنتینل ۳ دارای دقت مناسبی بوده و می‌تواند در مقیاس‌های بزرگ برای برآورد دما در حل بحران‌های زیست‌محیطی و همچنین تغییر اقلیم مورد استفاده قرار گیرد.

ارزیابی غیرمستقیم نتایج روش پیشنهادی با دو محصول دمای سنجنده MODIS و SLSTR انجام گرفت. نتایج حاصل از این ارزیابی طبق نگاره ۶ با توجه به دو پارامتر ضریب تعیین و ریشه میانگین مربع خطأ، نشان‌دهنده نزدیک‌تر بودن نتایج روش پیشنهادی به محصول SLSTR در مقایسه با MODIS در طول دوره یک‌ساله و فصول مختلف می‌باشد. الگوریتم غیرخطی پنجره مجزا و محصول مادیس دارای RMSE با دامنه ۱/۲۱ الی ۲/۴۶ بوده است که بیشترین و کمترین دقت به ترتیب مربوط به فصل‌های زمستان و تابستان می‌باشد. همچنین با مقایسه این الگوریتم با محصول RMSE SLSTR دارای دامنه ۰/۷۶ الی ۲/۲۴ بوده است که در این مقایسه نیز بیشترین و کمترین دقت به ترتیب مربوط به فصل‌های زمستان و تابستان می‌باشد.

دلیل عملکرد مناسب الگوریتم در فصل زمستان تعادل نسبی میزان بخارآب اتمسفر نسبت به بقیه فصول بوده، که با توجه به نحوه مدل‌سازی غیرخطی پنجره مجزا نسبت بخارآب اتمسفر در الگوریتم خطی موجود در محصولات SLSTR و MODIS، اختلاف دمای حاصل از الگوریتم و محصولات قابل توجیه است. در فصل تابستان نیز به دلیل نوسانات دما، نتایج روش پیشنهادی نسبت به هر دو محصول دمایی به اندازه کافی قابل اعتماد نیست. با توجه به ضریب نتایج روش پیشنهادی همبستگی بیشتری نسبت به محصول SLSTR در مقایسه با مادیس را ارائه داده است که این به دلیل استفاده از باندهای طیفی مشابه در محاسبه دمای سطح زمین در الگوریتم پیشنهادی و محصول SLSTR می‌باشد.

در مقایسه نسبی، الگوریتم غیرخطی پنجره مجزا و محصول MODIS دارای ضریب تعیین با دامنه ۰/۷۶ الی ۰/۹۶ بوده است. همچنین با مقایسه نسبی این الگوریتم با محصول SLSTR، ضریب تعیین دارای دامنه ۰/۸۰ الی ۰/۹۸ است.

فصلنامه علمی - پژوهشی اطلاعات جغرافیایی (میراث)

محاسبه و ارزیابی دمای سطح زمین با استفاده از الگوریتم پنجره‌محزار غیرخطی ... / ۷۳

Sensing, 36(4), 1113-1126.

10- Goita, K., & Royer, A. (1997). Surface temperature and emissivity separability over land surface from combined TIR and SWIR AVHRR data. *IEEE Transactions on Geoscience and Remote Sensing*, 35(3), 718-733.

11- Gutman, G., & Ignatov, A. (1998). The derivation of the green vegetation fraction from NOAA/AVHRR data for use in numerical weather prediction models. *International Journal of Remote Sensing*, 19(8), 1533-1543.

12- Huang, C., Duan, S.-B., Jiang, X.-G., Han, X.-J., Wu, H., Gao, M., . . . Li, Z.-L. (2019). Intercomparison of AMSR2-and MODIS-Derived Land Surface Temperature Under Clear-Sky Conditions. *IEEE Journal of Selected Topics in Applied Earth Observations and Remote Sensing*, 12(9), 3286-3294.

13- Jiménez-Muñoz, J. C., Cristobal, J., Sobrino, J. A., Serría, G., Ninyerola, M., & Pons, X. (2008). Revision of the single-channel algorithm for land surface temperature retrieval from Landsat thermal-infrared data. *IEEE transactions on geoscience and remote sensing*, 47(1), 339-349.

14- Jiménez-Muñoz, J. C., Sobrino, J. A., Skoković, D., Mattar, C., & Cristóbal, J. (2014). Land surface temperature retrieval methods from Landsat-8 thermal infrared sensor data. *IEEE Geoscience and remote sensing letters*, 11(10), 1840-1843.

15- Kamran, K. V., Pirnazar, M., & Bansouleh, V. F. (2015). Land surface temperature retrieval from Landsat 8 TIRS: comparison between split window algorithm and SEBAL method. Paper presented at the Third International Conference on Remote Sensing and Geoinformation of the Environment (RSCy2015).

16- Kuenzer, C., & Dech, S. (2013). Thermal infrared remote sensing. *Remote Sensing and Digital Image Processing*. doi, 10(1007), 978-994.

17- Li, Z.-L., Tang, B.-H., Wu, H., Ren, H., Yan, G., Wan, Z., . . . Sobrino, J. A. (2013). Satellite-derived land surface temperature: Current status and perspectives. *Remote Sensing of Environment*, 131, 14-37.

18- Malenovský, Z., Rott, H., Cihlar, J., Schaepman, M. E., García-Santos, G., Fernandes, R., & Berger, M. (2012). Sentinels for science: Potential of Sentinel-1,-2,

۶- منابع و مأخذ

- 1- Ahlgren, P., Jarneving, B., & Rousseau, R. (2003). Requirements for a cocitation similarity measure, with special reference to Pearson's correlation coefficient. *Journal of the American Society for Information Science and Technology*, 54(6), 550-560.
- 2- Anding, D., & Kauth, R. (1970). Estimation of sea surface temperature from space. *Remote Sensing of Environment*, 1(4), 217-220.
- 3- Baldridge, A. M., Hook, S., Grove, C., & Rivera, G. (2009). The ASTER spectral library version 2.0. *Remote sensing of environment*, 113(4), 711-715.
- 4- Berger, M., Moreno, J., Johannessen, J. A., Levelt, P. F., & Hanssen, R. F. (2012). ESA's sentinel missions in support of Earth system science. *Remote sensing of environment*, 120, 84-90.
- 5- Coll, C. s., Caselles, V., Galve, J. M., Valor, E., Niclos, R., Sánchez, J. M., & Rivas, R. I. (2005). Ground measurements for the validation of land surface temperatures derived from AATSR and MODIS data. *Remote Sensing of Environment*, 97(3), 288-300.
- 6- Donlon, C., Berruti, B., Buongiorno, A., Ferreira, M.-H., Féménias, P., Frerick, J., . . . Mavrocordatos, C. (2012). The global monitoring for environment and security (GMES) sentinel-3 mission. *Remote sensing of environment*, 120, 37-57.
- 7- Drusch, M., Del Bello, U., Carlier, S. b., Colin, O., Fernandez, V., Gascon, F., . . . Martimort, P. (2012). Sentinel-2: ESA's optical high-resolution mission for GMES operational services. *Remote Sensing of Environment*, 120, 25-36.
- 8- Emami, H., Mojarradi, B., & Safari, A. (2016). A new approach for land surface emissivity estimation using LDCM data in semi-arid areas: exploitation of the ASTER spectral library data set. *International Journal of Remote Sensing*, 37(21), 5060-5085.
- 9- Gillespie, A., Rokugawa, S., Matsunaga, T., Cothern, J. S., Hook, S., & Kahle, A. B. (1998). A temperature and emissivity separation algorithm for Advanced Spaceborne Thermal Emission and Reflection Radiometer (ASTER) images. *IEEE Transactions on Geoscience and Remote Sensing*, 36(4), 1113-1126.

- Ruescas, A., Danne, O., North, P., ... & Mitraka, Z. (2012, October). Land surface temperature retrieval from Sentinel 2 and 3 Missions. Paper presented at the Proceedings of the Sentinel-3 OLCI/SLSTR and MERIS/(A) ATSR Workshop, Frascati, Italy.
- 28- Sobrino, J. A., Jiménez-Muñoz, J. C., Sòria, G., Ruescas, A. B., Danne, O., Brockmann, C., ... & Berger, M. (2016). Synergistic use of MERIS and AATSR as a proxy for estimating Land Surface Temperature from Sentinel-3 data. *Remote Sensing of Environment*, 179, 149-161.
- 29- Sobrino, J., Li, Z., Stoll, M., & Becker, F. (1996). Multi-channel and multi-angle algorithms for estimating sea and land surface temperature with ATSR data. *International Journal of Remote Sensing*, 17(11), 2089-2114.
- 30- Sobrino, J. A., Jiménez-Muñoz, J. C., Sòria, G., Romaguera, M., Guanter, L., Moreno, J., ... & Martínez, P. (2008). Land surface emissivity retrieval from different VNIR and TIR sensors. *IEEE transactions on geoscience and remote sensing*, 46(2), 316-327.
- 31- Tang, B.-H. (2018). Nonlinear split-window algorithms for estimating land and sea surface temperatures from simulated chinese gaofen-5 satellite data. *IEEE Transactions on Geoscience and Remote Sensing*, 56(11), 6280-6289.
- 32- Wan, Z., & Li, Z.-L. (1997). A physics-based algorithm for retrieving land-surface emissivity and temperature from EOS/MODIS data. *IEEE Transactions on Geoscience and Remote Sensing*, 35(4), 980-996.
- 33- Wan, Z., & Li, Z. L. (2008). Radiance-based validation of the V5 MODIS land-surface temperature product. *International Journal of Remote Sensing*, 29(17-18), 5373-5395.
- 34- Wan, Z., Zhang, Y., Zhang, Q., & Li, Z.-L. (2004). Quality assessment and validation of the MODIS global land surface temperature. *International Journal of Remote Sensing*, 25(1), 261-274.
- 35- Zheng, Y., Ren, H., Guo, J., Ghent, D., Tansey, K., Hu, X., ... & Chen, S. (2019). Land surface temperature retrieval from sentinel-3A sea and land surface temperature radiometer, using a split-window algorithm. *Remote Sensing*, 11(6), 650.
- and-3 missions for scientific observations of ocean, cryosphere, and land. *Remote sensing of environment*, 120, 91-101.
- 19- McMillin, L. M. (1975). Estimation of sea surface temperatures from two infrared window measurements with different absorption. *Journal of geophysical research*, 80(36), 5113-5117.
- 20- Nie, J., Ren, H., Zheng, Y., Ghent, D., & Tansey, K. (2020). Land Surface Temperature and Emissivity Retrieval From Nighttime Middle-Infrared and Thermal-Infrared Sentinel-3 Images. *IEEE Geoscience and Remote Sensing Letters*.
- 21- North, P., Brockmann, C., Fischer, J. r., Gomez-Chova, L., Grey, W., Heckel, A., . . . Regner, P. (2008). MERIS/AATSR synergy algorithms for cloud screening, aerosol retrieval and atmospheric correction. Paper presented at the proc. 2nd meris/aatsr user workshop, esrin, frascati.
- 22- Prata, A., Caselles, V., Coll, C., Sobrino, J., & Ottle, C. (1995). Thermal remote sensing of land surface temperature from satellites: Current status and future prospects. *Remote Sensing Reviews*, 12(3-4), 175-224.
- 23- Qian, Y.-G., Li, Z.-L., & Nerry, F. o. (2013). Evaluation of land surface temperature and emissivities retrieved from MSG/SEVIRI data with MODIS land surface temperature and emissivity products. *International journal of remote sensing*, 34(9-10), 3140-3152.
- 24- Ruescas, A., Danne, O., Fomferra, N., & Brockmann, C. (2016). The Land Surface Temperature Synergistic Processor in BEAM: A Prototype towards Sentinel-3. *Data*, 1(3), 18.
- 25- Shrestha, A., Angal, A., & Xiong, X. (2018). Evaluation of MODIS and Sentinel-3 SLSTR thermal emissive bands calibration consistency using Dome C. Paper presented at the Algorithms and Technologies for Multispectral, Hyperspectral, and Ultraspectral Imagery XXIV.
- 26- Sobrino, J., Jiménez-Muñoz, J., Sòria, G., Ruescas, A., Danne, O., Brockmann, C., . . . Merchant, C. (2016). Synergistic use of MERIS and AATSR as a proxy for estimating Land Surface Temperature from Sentinel-3 data. *Remote sensing of environment*, 179, 149-161.
- 27- Sobrino, J., Jiménez-Muñoz, J., Brockmann, C.,